

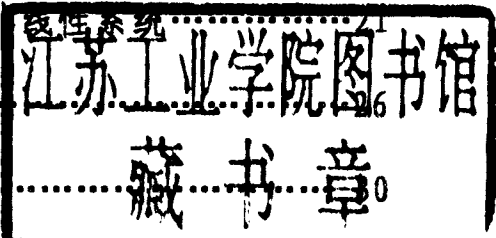
自动控制原理实验指导书

北方工业大学机电工程学院自动化实验中心

2004年3月

目录

实验一	典型环节及其阶跃响应	1
实验二	二阶系统阶跃响应	4
实验三	控制系统的稳定性分析	7
实验四	系统稳态误差分析	9
实验五	控制系统的根轨迹	12
实验六	系统频率特性实验	14
实验七	系统校正	18
实验八	相平面法分析非线性系统	21
实验九	采样系统分析	26
实验十	状态反馈	30
附: Matlab/Simulink 自控原理实验模拟仿真		34



实验一 典型环节及其阶跃响应

一 实验目的

1. 学习构成典型环节的模拟电路，了解电路参数对环节特性的影响。
2. 学习典型环节阶跃响应测量方法，并学会由阶跃响应曲线计算典型环节传递函数。

二 实验内容

搭建下述典型环节的模拟电路，并测量其阶跃响应。

1. 比例 (P) 环节的模拟电路及其传递函数示于图 1-1。

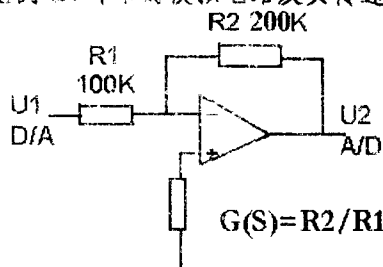


图1-1

2. 惯性 (I) 环节的模拟电路及其传递函数示于图 1-2。

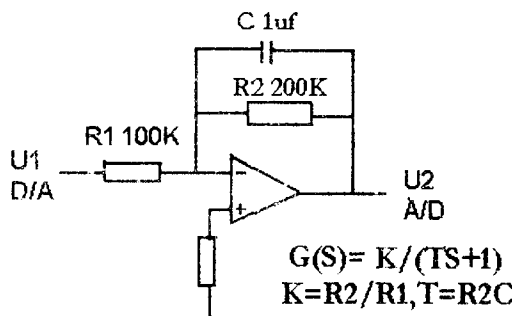


图1-2

3. 积分 (I) 环节的模拟电路及其传递函数示于图 1-3。

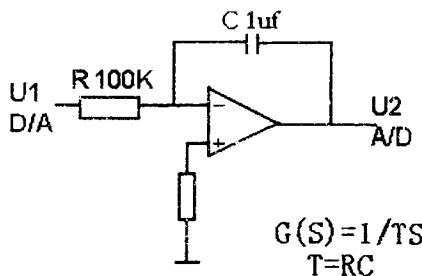


图1-3

4. 比例积分(PI)环节的模拟电路及其传递函数示于图 1-4。

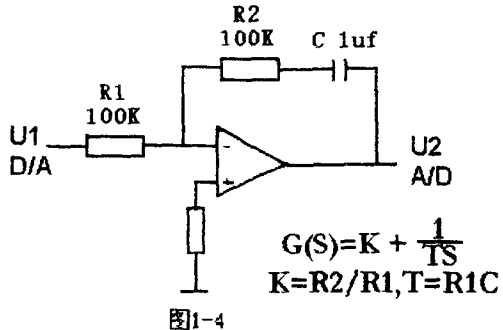


图1-4

5. 比例微分(PD)环节的模拟电路及其传递函数示于图 1-5。

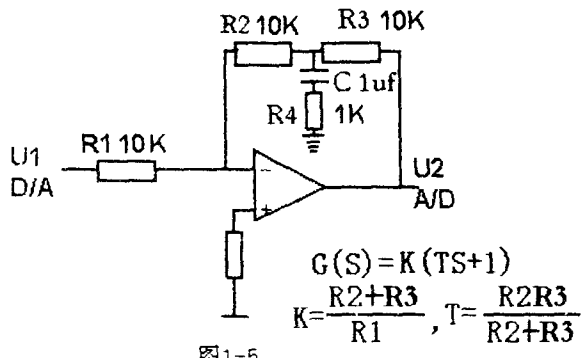
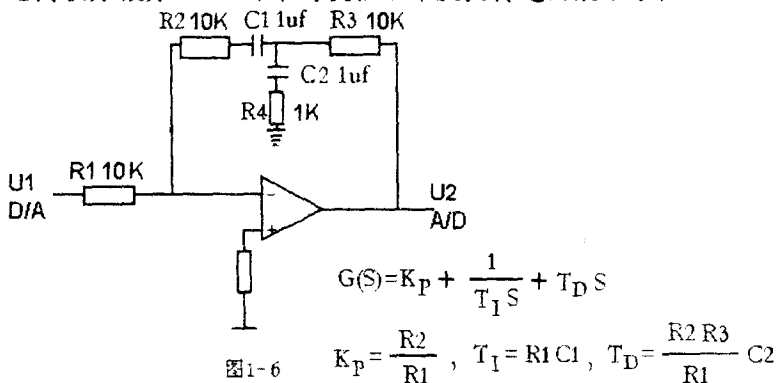


图1-5

6. 比例积分微分(PID)环节的模拟电路及其传递函数示于图 1-6。

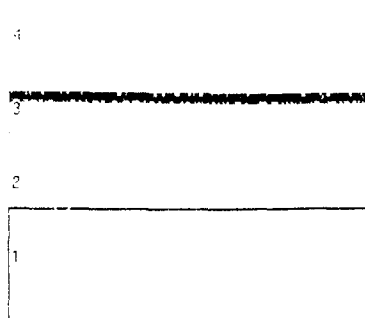


三 实验报告

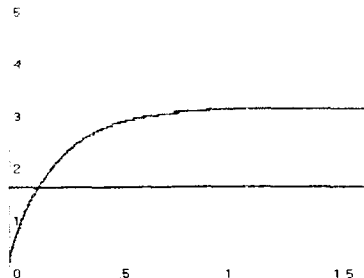
1. 画出惯性环节、积分环节、比例积分环节、比例微分环节、比例积分微分环节的模拟电路图，用坐标纸画出所记录的各环节的阶跃响应曲线。
2. 由阶跃响应曲线计算出惯性环节、积分环节的传递函数，并与由电路计算的结果相比较。

附：实验一效果参考图

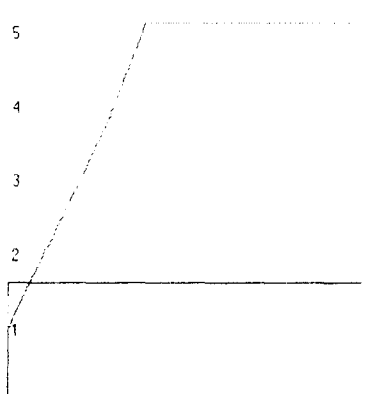
比例环节阶跃响应



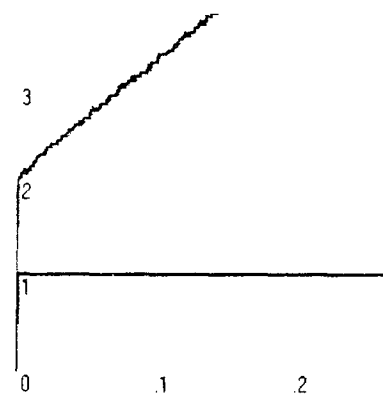
惯性环节阶跃响应



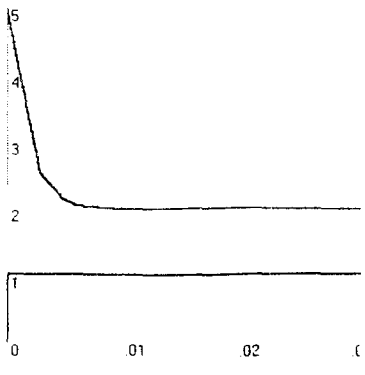
积分环节阶跃响应



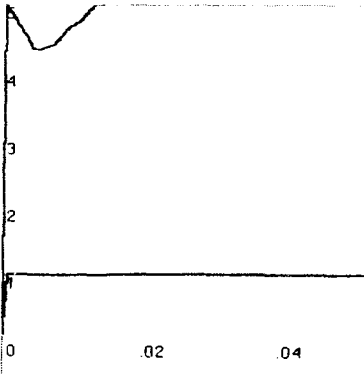
比例积分环节阶跃响应



比例微分环节阶跃响应



比例积分微分环节阶跃响应



实验二 二阶系统阶跃响应

一 实验目的

研究二阶系统的两个重要参数阻尼比 ζ 和无阻尼自然频率 ω_n 对系统动态性能的影响。

二 实验内容

- 在自控原理实验箱上用运算放大器搭接一个模拟二阶系统，系统结构参数如下：

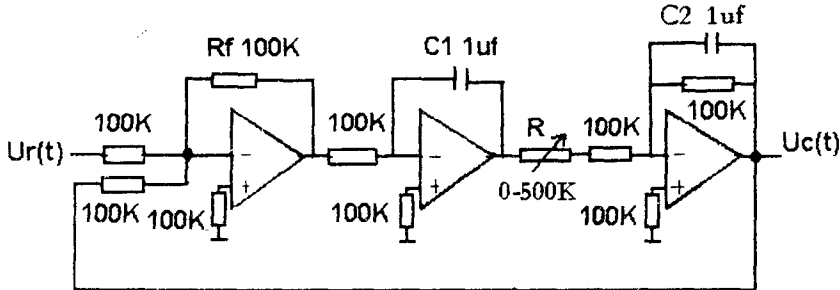


图 2-1

- 改变系统结构参数（即模拟系统中的 R），观察不同 R 值对系统动态性能有何影响。记录三种典型动态响应特性曲线（过阻尼、欠阻尼、临界阻尼）及相应的 R 值。
- 改变比例环节的 R_f 观察对系统有何影响。
- 改变惯性环节的 C_2 观察对系统有何影响。
- 对实验结果进行分析，并作出结论。

三 模拟系统方框图及传递函数：

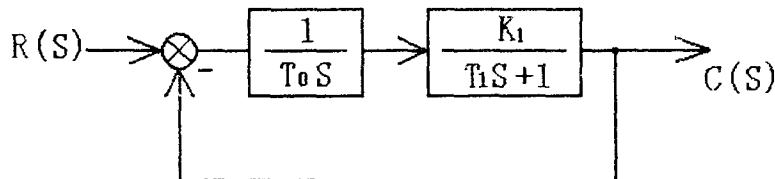


图 2-2

$$\text{开环传函: } G(s) = \frac{K_1}{T_0 S(T_1 S + 1)} = \frac{K}{S(T_1 S + 1)}$$

$$\text{其中: } K = \frac{K_1}{T_0}$$

闭环传函：

$$\begin{aligned}\Phi(s) &= \frac{K}{S(T_1S+1)+K} = \frac{K}{T_1S^2 + S + K} \\ &= \frac{\omega_n^2}{S^2 + 2\xi\omega_nS + \omega_n^2}\end{aligned}$$

$$\text{其中: } \omega_n = \sqrt{K/T_1} = \sqrt{K_1/(T_0T_1)}$$

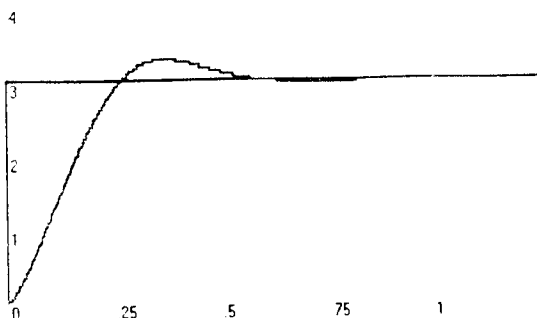
$$\xi = \frac{1}{2}\sqrt{T_0/(K_1T_1)}$$

四 实验报告要求

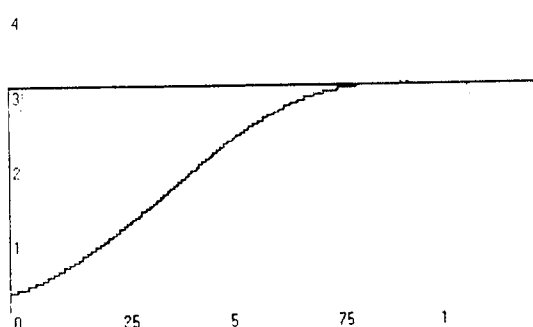
1. 画出实验线路和对应的方框图。
2. 记录实验数据和波形。
3. 实验结果与理论值比较、分析。

附：实验二效果参考图

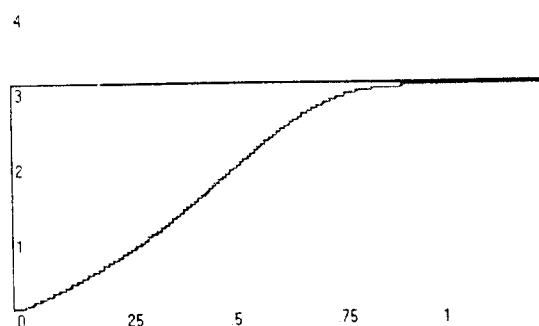
二阶系统欠阻尼阶跃响应



二阶系统临界阻尼阶跃响应



二阶系统过阻尼阶跃响应



实验三 控制系统的稳定性分析

一 实验目的

1. 观察系统的不稳定现象。
2. 研究系统开环增益和时间常数对稳定性的影响。

二 实验电路图

1. 系统模拟电路图示于图 3-1

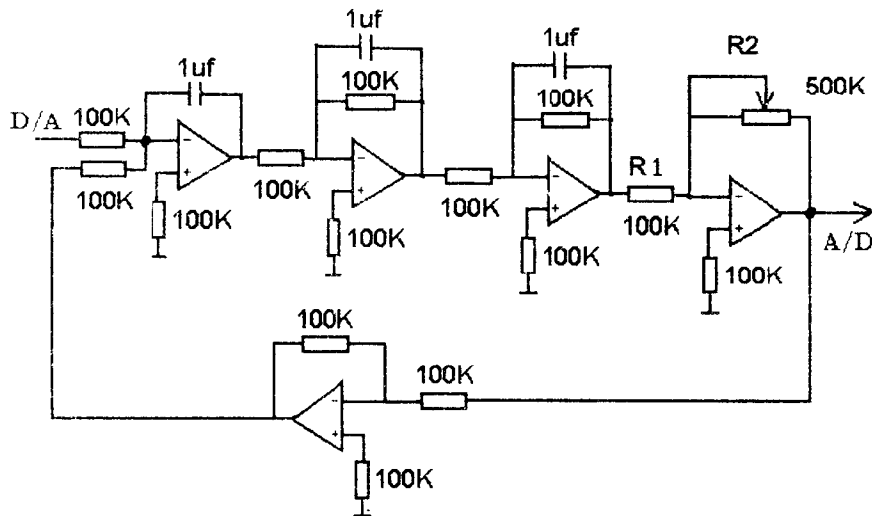


图 3-1

2. 系统结构图为：

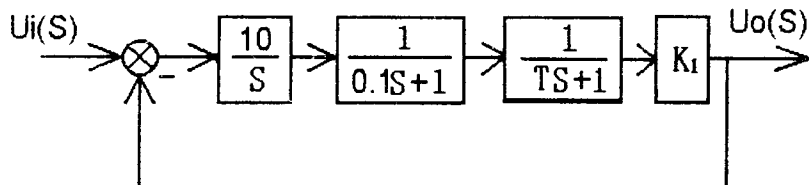


图 3-2

其开环传递函数为：

$$G(s) = \frac{10K_1}{s(0.1s+1)(Ts+1)}$$

闭环传递函数为：

$$\Phi(s) = \frac{10K_1}{s(0.1s+1)(Ts+1) + 10K_1}$$

式中 $K_1 = R_2/R_1$, $R_1=100\text{K}$, $R_2=500\text{K}$; $T=RC$, $R=100\text{K}$, 分 $C=1\mu\text{F}$ 或 $C=0.1\mu\text{F}$ 两种情况。

四 实验步骤

1. 输入信号 $u_1=3V$, $C=1\mu F$, 改变电位器, 使 R_2 从 $0 \rightarrow 500K$ 方向变化, 此时相应 $K=10$, $K_1=0 \sim 100$. 观察输出波形, 找到系统输出产生增幅振荡时相应的 R_2 及 K 值, 再把电位器电阻由大至小变化, 即 $R_2=500K \rightarrow 0$, 找出系统输出产生等幅振荡时相应的 R_2 及 K 值, 并观察输出波形.
2. 使系统工作在不稳定状态, 即工作在等幅振荡情况, 电容由 $1\mu F$ 变成 $0.1\mu F$, 观察系统稳定性的变化.

五 实验报告

1. 画出模拟电路图.
2. 画出系统增幅或减幅振荡的波形图.
3. 计算系统的临界放大系数, 并与实验中测量得临界放大系数相比较.

附: 实验三效果参考图

等幅振荡 ($T=RC=0.1$ 时, $R_2=190K$)

5

4

2

1

0

155.5

156

156.5

157

衰减振荡 ($T=RC=0.01$ 时, $R_2=500K$)

5

4

3

2

0

5

1

1.5

2

实验四 系统稳态误差分析

一 实验目的

研究开环系统类型、输入信号和稳态误差之间的关系。

二 实验原理线路

1. 0型系统

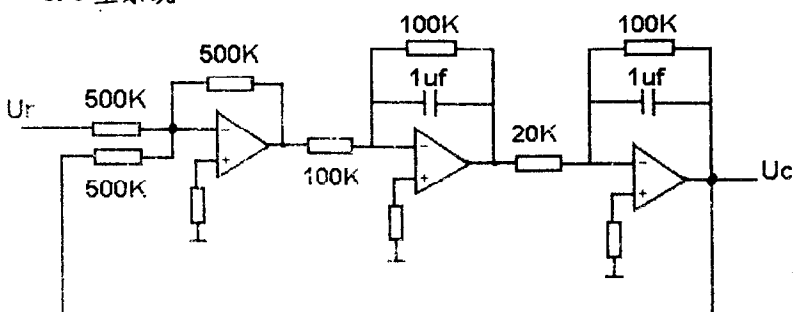


图 4-1

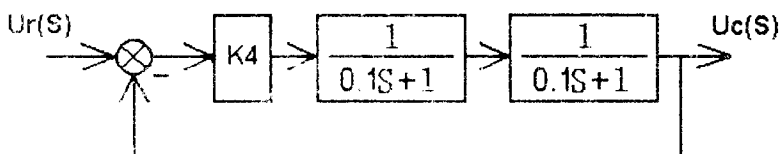


图 4-2

2. I型系统

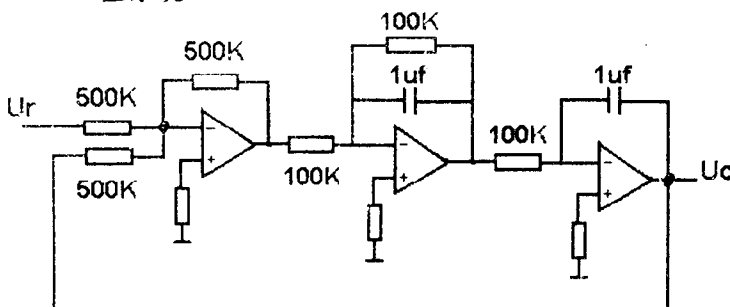


图 4-3

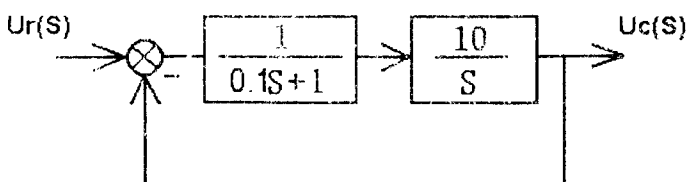


图 4-4

三 实验预习要求

复习有关基本内容，推导出开环系统类型、输入信号与稳态误差的关系。

四 实验内容与步骤

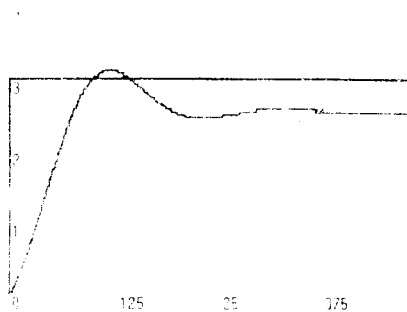
1. 按图 4-1 接线构成 0 型系统，在输入端加阶跃给定信号并测取其静态位置误差，试分析当系统开环放大倍数时（改变 K_A），0 型系统静态位置误差的变化。
2. 按图 4-3 接线，构成 I 型系统，在输入端分别加入阶跃、斜坡信号，测量系统的稳态误差。
3. 分析以上所得数据，与理论计算值 K_P、K_V、 $\varepsilon(\infty)$ 比较作出必要的结论。

五 实验报告要求

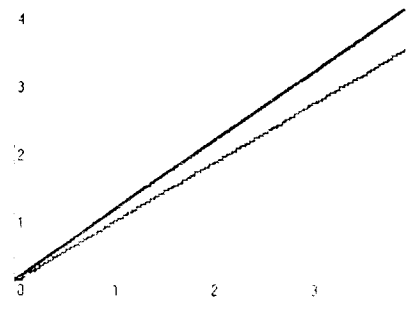
1. 画出实验原理线路及对应的系统方框图。
2. 记录实验数据和结论。
3. 分析实验数据，与理论计算值 K_P、K_V、 $\varepsilon(\infty)$ 比较，作出相应的结论。

附：实验四效果参考图

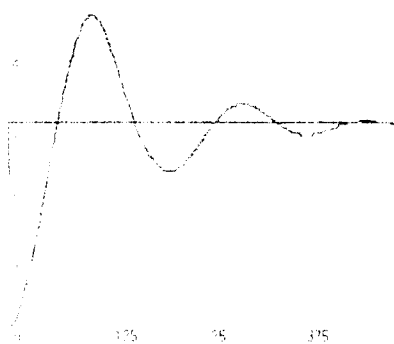
0型系统阶跃输入



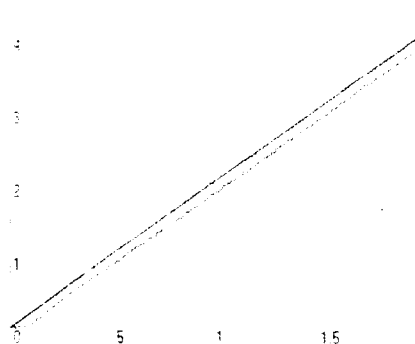
0型系统斜坡输入



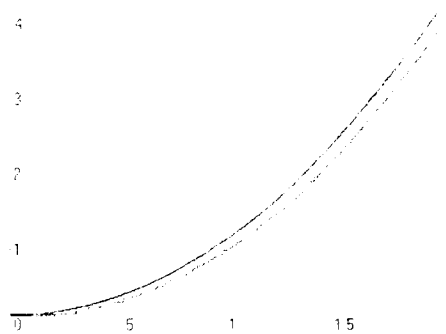
I型系统阶跃输入



I型系统斜坡输入



I型系统加速度输入



实验五 控制系统的根轨迹

一 实验目的

熟悉常见控制系统根轨迹的形状和特点，了解零极点位置对根轨迹形状的影响。

二 实验要求

1 预先绘制下列系统的根轨迹草图

(1) 二阶系统：

$$G_k(S) = \frac{K_g}{S(S+10)}$$

(2) 带零点的二阶系统：

$$G_k(S) = \frac{K_g(S+4)}{S^2 + 4S + 16}$$

(3) 条件稳定系统：

$$G_k(S) = \frac{K_g(S+6)}{S(S+8)(S+12)(S^2 + 4S + 8)}$$

2 对上述三个系统进行仿真实验。

3 对系统(2)任意增加零极点，观察并分析增加开环零极点对系统有何影响。

如：

- (1) 增加一个零点，分别加在不同的位置上；
- (2) 增加两个极点，在复平面的不同位置上；
- (3) 增加一个零点，一个极点。

三 操作方法

1 进入 Win98 系统，点击 ROOT

2 进入 ROOT 主菜单，选项：

- (1) 画一个新的根轨迹
- (2) 在原系统上增加零、极点
- (3) 计算多项式

3 选(1)时，画面显示：

- (1) [FEN ZI]:—— (输入分子(零点)数)
- (2) [FEN MU]:—— (输入分母(极点)数)

显示：(1) 以零极点形式输入仿真系统

(2) 以多项式形式输入仿真系统

请做出选择。输入正确按 Y，否则为 N，重新选择。

4 选(1)并按 Y 时，系统自动提出，请按提示分别输入极点坐标的实部、虚部；输入零点坐标的实部、虚部。若零点为 0，则此处输入常数“1”。k 的最大值选 100，y 坐标的最大值选 15。

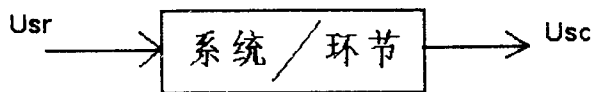
- 5 开始运行仿真程序，并显示仿真系统的根轨迹，当程序停止运行，按↓可继续运行，即 K 增加 100；在运行过程中，STEP 既定值为 0.001，自然增长，有可能出现轨迹无交汇点，此时应注意在程序运行过程中，按↓键，使 STEP 减少，按↑键则增加 STEP，STEP 越大，程序取点越少。描绘出的根轨迹越不好、不光滑或成为折线。
- 6 其他操作，请注意画面提示。

实验六 系统频率特性实验

一 实验目的

学习用李沙育图形法测试系统(或环节)的频率特性,掌握由频率特性曲线求取传递函数的方法。

二 实验原理



$$U_{sr} = A_1 \sin \omega t$$

$$U_{sc} = A_2 \sin[\omega t + \varphi(\omega)]$$

$$W(j\omega) = \frac{U_{sc}}{U_{sr}} = \frac{A_2 \sin[\omega t + \varphi(\omega)]}{A_1 \sin \omega t} = A(\omega) \varphi(\omega)$$

1. 幅频特性

$$A(\omega) = \frac{A_2(\omega)}{A_1(\omega)} = \frac{Y_m(\omega)}{X_m(\omega)} = \frac{2Y_m(\omega)}{2X_m(\omega)}$$

2. 相频特性:

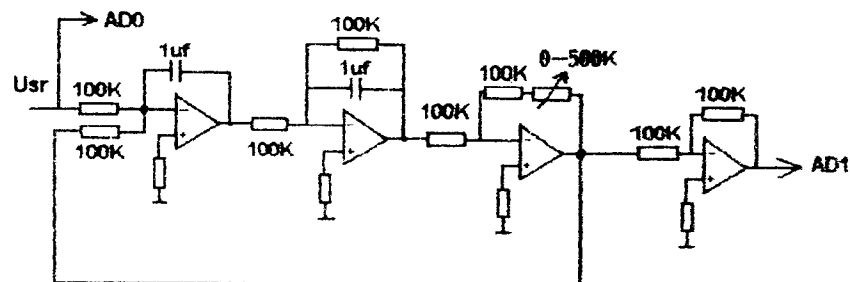
$$\text{当 } \omega t = 0 \text{ 时, } U_{sr}(0) = 0$$

$$U_{sc}(0) = Y(0) = A_2 \sin \varphi(\omega) = Y_m \sin \varphi(\omega)$$

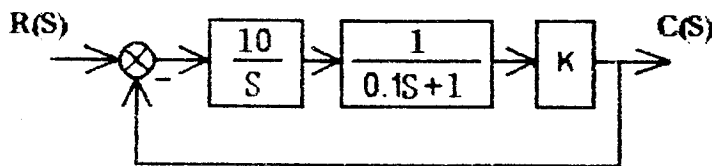
$$\therefore \varphi(\omega) = \sin^{-1} \frac{Y(0)}{Y_m} = -\sin^{-1} \frac{2Y_0}{2Y_m}$$

改变输入信号的频率 f , 可得一组 $\varphi(\omega)$ 和 $A(\omega)$. 当系统的相频特性是滞后的, 即输出(Y)滞后于输入(X), 则李沙育图形光点逆时针运动, 超前则顺时针运动。

三 系统模拟电路图



系统模拟电路图

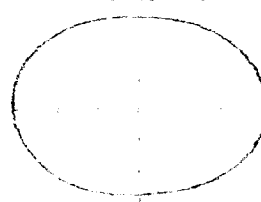


系统结构图

相角范围 $0^\circ \sim -90^\circ$
李沙育图形



相角范围 -90°
李沙育图形



相角范围 $-90^\circ \sim -180^\circ$
李沙育图形

